

Alkaloidlerin Analizinde Bamford Usulünün İnce Tabaka Kromatografisiyle Kombine Edilmesi II : 1.-3. Gruptakilerle İlgili İncelemeler

Combination of the Method of Bamford with Thin-Layer Chromatography in the Analysis of Alkaloids II: Studies relating the Groups 1-3

Rasim TULUS ve Gülsen İSKENDER *

GİRİŞ

Bu konudaki çalışmaların ilkinde(1) Bamford(2) usulündeki sınıflandırmaya göre 1.-7. grupta bulunan alkaloidlerin ve baz tesirli organik azot bileşiklerinin kendi grupları içinde ince tabaka kromatografisiyle ayrılmasında kullanılacak metodlar bildirilmiştir, bu yayın ile bundan sonrakinde ise çeşitli ince tabakalarda muhtelif çözücü sistemleriyle yapılan incelemeler, biri 1.-3. gruptakiler, diğer ise 4.-7. gruptakiler için olmak üzere, iki bölüm halinde bildirilecektir.

İNCELEMELER

a) *1. Gruptakiler*: Bu grupta narkotin (noscapine), narsein, hidrastin, sitizin, piperin, delfinin ve kolçisin (no. 1-7) olmak üzere 7 alkaloid tespit edildi. Literatürde bildirilen çözücü sistemlerinden I-XI no. luları ile (1) silika jel G tabakasında yükselen usule göre yapılan kromatografik ayırma tecrübelerinde bu çözücü sistemlerinden hiçbirinin bu gruptaki alkaloidlerin hepsini birden ayırmadığı tespit edildi (Cetvel I).

Cetvel I e göre en iyi ayırma VI ve VII no.lu çözücü sistemleriyle elde edilmektedir (Kromatogram 1 ve 2).

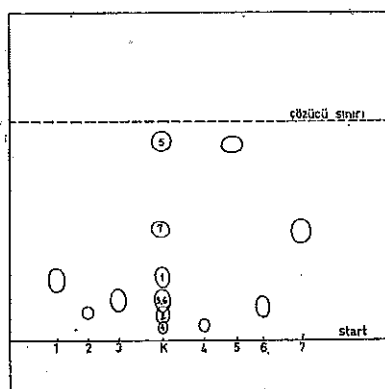
* Genel ve Analitik Kimya Kürsüsü, Eczacılık Fakültesi, Üniversite, İstanbul.

Cetvel I. Bilinen çözücü sistemleriyle alınan sonuçlar

| Çözücü sistemi no. | Leke adedi (*) | Rf değerleri | | | | | | |
|--------------------|----------------|--------------|---------|----------|---------|---------|----------|----------|
| | | Narkotin | Narsein | Hidastin | Sitizin | Piperin | Delfinin | Kolçisin |
| I | 5 | 0.87 | 0.05 | 0.76 | 0.39 | 0.76 | 0.75 | 0.51 |
| II | 4 | 0.90 | 0.04 | 0.95 | 0.46 | 0.95 | 0.94 | 0.87 |
| III | 4 | 0.89 | 0.05 | 0.90 | 0.27 | 0.92 | 0.96 | 0.17 |
| IV | 5 | 0.80 | 0.55 | 0.55 | 0.21 | 0.53 | 0.34 | 0.35 |
| V | 3 | 0.96 | 0.05 | 0.89 | 0.08 | 0.94 | 0.93 | 0.62 |
| VI | 6 | 0.72 | 0.04 | 0.44 | 0.06 | 0.90 | 0.18 | 0.46 |
| VII | 6 | 0.28 | 0.12 | 0.18 | 0.05 | 0.89 | 0.13 | 0.50 |
| VIII | 5 | 0.21 | 0.14 | 0.16 | 0.05 | 0.85 | 0.11 | 0.41 |
| IX (**) | 5 | 0.64 | 0.08 | 0.38 | 0.05 | 0.78 | 0.14 | 0.40 |
| X | 4 | 0.83 | 0.79 | 0.77 | 0.37 | 0.96 | 0.80 | 0.96 |
| XI | 5 | 0.89 | 0.04 | 0.66 | 0.18 | 0.93 | 0.65 | 0.49 |

(*) Maddelerin hepsi beraber kromatografiye edildiğinde

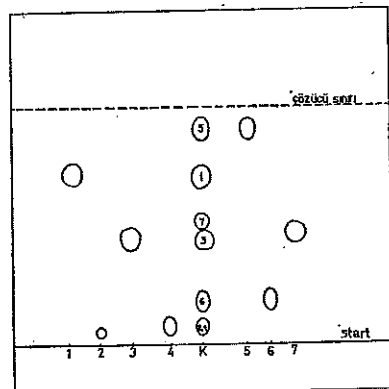
(**) % 5 sodyum sitratlı silika jel G tabakasında



Kromatogram 1

Çözücü sistemi : No. VI

Süre : 3 saat 20 dakika, t = 23°C (*)



Kromatogram 2

Çözücü sistemi : No. VII

Süre : 2 saat 35 dakika, t = 25°C

(*) Bu yazida klişeleri olan bütün kromatogramlarda adsorban silika jel G dir, K harfi ise karışımı gösterir.

Kromatogram 1 de narsein-sitizin ayrılmıyor, kromatogram 2 de ise narsein, hidrastin ve delfinin karışıyor. Narsein-sitizini iyi ayıran çözücü sistemlerine misal olarak cetvel I dekilerden IV no.lu olamı, tarafımızdan tertiplenen(1) çözücü sistemlerini gösteren cetvel II dekilerden ise II_a , VIII_b ve X_b no.luları tavsiye edilir. Narsein, hidrastin ve delfinin ayırmak için, cetvel I de bildirilen çözücü sistemlerinden III ve VI no.luları, cetvel II dekilerden ise $\text{II}_{a,b}$, $\text{III}_{a,b,d}$, V ve XI kullanabilir.

Kromatogram 1 de yakın Rf değeri veren hidrastin-kolşisini daha iyi ayırmak için cetvel I deki çözücü sistemlerinden I, III, IV, V, VII, VIII, X ve XI no.lular, cetvel II deki çözücü sistemlerinden ise $\text{III}_{a,b,d}$, V_a , $\text{VIII}_{a,b}$, X_a ve XII no.luları tavsiye edilir. Kromatogram 2 de yakın Rf değeri veren narkotin-hidrastini daha iyi ayırmak için cetvel I deki çözücü sistemlerinden I, IV, V, VI, IX, X ve XI no.lular, cetvel II deki çözücü sistemlerinden ise II_a , III_a , V, IX, XI ve XII no.lular tavsiye edilir.

Cetvel II. Yeni tertiplenen çözücü sistemleriyle alınan sonuçlar

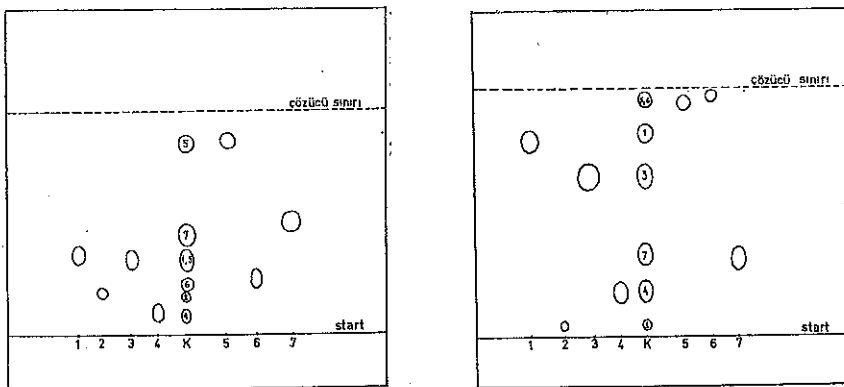
| Çözücü sistemi no. | Leke adedi | Rf değerleri | | | | | | |
|--------------------|------------|--------------|---------|-----------|---------|---------|----------|----------|
| | | Narkotin | Narsein | Hidrastin | Sitizin | Piperin | Delfinin | Kolşisin |
| I _a | 4 | 0.88 | 0.11 | 0.91 | 0.73 | 0.93 | 0.89 | 0.71 |
| II _a | 6 | 0.95 | 0.24 | 0.85 | 0.39 | 0.94 | 0.93 | 0.81 |
| II _b | 7 | 0.88 | 0.08 | 0.89 | 0.38 | 0.93 | 0.38 | 0.90 |
| III _a | 4 | 0.89 | 0.04 | 0.82 | 0.29 | 0.84 | 0.89 | 0.22 |
| III _b | 5 | 0.86 | 0.05 | 0.85 | 0.20 | 0.87 | 0.91 | 0.18 |
| III _c | 5 | 0.85 | 0.03 | 0.81 | 0.12 | 0.79 | 0.80 | 0.03 |
| III _d | 4 | 0.80 | 0.03 | 0.76 | 0.05 | 0.72 | 0.65 | 0.25 |
| V _a | 5 | 0.98 | 0.04 | 0.86 | 0.08 | 0.95 | 0.40 | 0.59 |
| VIII _a | 5 | 0.23 | 0.06 | 0.19 | 0.05 | 0.86 | 0.15 | 0.46 |
| VIII _b | 4 | 0.37 | 0.39 | 0.35 | 0.18 | 0.89 | 0.41 | 0.76 |
| IX _a | 5 | 0.75 | 0.09 | 0.42 | 0.09 | 0.93 | 0.21 | 0.07 |
| X _a | 6 | 0.36 | 0.19 | 0.34 | 0.09 | 0.86 | 0.25 | 0.50 |
| X _b | 6 | 0.87 | 0.78 | 0.84 | 0.40 | 0.96 | 0.84 | 0.87 |
| XI _a | 6 | 0.77 | 0.03 | 0.64 | 0.17 | 0.95 | 0.97 | 0.30 |
| XII | 4 | 0.84 | 0.05 | 0.81 | 0.13 | 0.80 | 0.86 | 0.39 |
| XIII | 3 | 0.36 | 0.06 | 0.11 | 0.05 | 0.81 | 0.07 | 0.05 |
| XIV (*) | 5 | 0.95 | 0.09 | 0.85 | 0.28 | 0.95 | 0.78 | 0.80 |

(*) N KOH ile hazırlanan silika jel G tabakasında

Tarafımızdan tertiplenen çözücü sistemleriyle silika jel G tabakasında yükselen usulü göre yapılan çalışmalarla elde edilen Rf değerleri cetvel II de gösterilmiştir. Bunların içinde iyi ayırma yapanlardan biri XI_a no.lu olanıdır (Kromatogram 3).

Bu kromatogramda ayrılmayan piperin-delfinin cetvel I de bulunan çözücü sistemlerinden I, VI, VIII, VII, IX, X ve XI no.lularıyla, cetvel II dekilerden ise II_b , V_a , $\text{VIII}_{a,b}$, IX , X, ile ayrılmaktadır.

Nisbeten iyi bir ayırma yapan bir diğer çözücü sistemi de X_a dir (Kromatogram 4).



Kromatogram 3

Çözücü sistemi : No. XI_a
Süre : 2 saat, t = 23°C

Kromatogram 4

Çözücü sistemi : No. X_a
Süre : 2 saat 10 dakika, t = 23°C

Bu kromatogramda ayrılmayan narkotin-hidrastin, cetvel I de bulunan çözücü sistemlerinden I, IV, VI, IX, XI no.luları ile, cetvel II de kilerden ise II_a, V_a, IX , X ve XIII no.lularıyla ayrılabilir.

Silika jel G yerine, aliminyum oksid G ile hazırlanan ince tabakalarda bu gruptaki bütün alkaloidleri birbirinden ayırmak mümkün olmamıştır; fakat silika jel G tabakasında ekseriya tatbik edildiği noktadan pek az ilerleyen narsein, aluminyum oksid G tabakasında I, I_a, VIII_b sistemleriyle çalışıldığında ilerlemekte, diğerlerinden ayrı (iodo-platinatla koyu mavi) bir leke husule getirmektedir.

İki boyutlu kromatografik tetrakiklerde önce baz reaksiyonlu bir çözücü sistemi, müteakiben asid reaksiyonlu bir çözücü sistemi ile kromatografiye edilmesi düşünüldü. Bu maksatla I. çözücü olarak benzen-dietilamin (9 : 1) (cetvel II, no. XII), II. çözücü olarak butanol-

formik asid-su (4:1:7) (cetvel II, no. VIII_b), ayrıca aynı çözücülerin (4:2:7) ve (4:3:7) oranlarında hazırlanan karışıntıları ile muhtelif denemeler yapıldı, fakat iyi bir ayırma temin edilemedi; bunun üzere ikinci boyutta nötr karakterde bir çözücü sistemi sikloheksan-sikloheksanol-heksan (1:1:1) ile (cetvel II, no. XIII) kromatografiye edilmesi düşünüldü. Bu çözücü kombinasyonlarıyla yapılan iki boyutlu kromatografide bu gruptaki 7 alkaloidi tek bir kromatogramda birbirinden ayırmak mümkün oldu(1).

b) 2. gruptaki alkaloidler: Bu gruptaki alkaloid ve türevlerinden: Morfin, apomorfin, dihidromorfinon (dilauidid), kodein, etilmorfin (dionin), dihidroksikodeinon (oxycodone, eucodal), dihidrokodeinon (dicodid), lobelin, papaverin ve efedrin (no. 1 - 10) olmak üzere 10 madde tetkik edilmiştir.

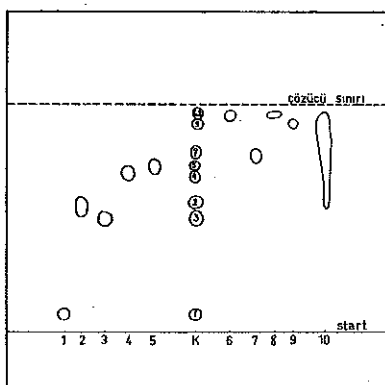
Literatürde bildirilen çözücü sistemlerinden I - XI no.luları ile silika jel tabakasında yükselen usule göre yapılan kromatografik ayırma tecrübelerinde bu grupta bulunan maddelerin hepsini birbirinden ayırmak mümkün olmadığı (cetvel III). Bu çözücü sistemleriyle en fazla leke II no.lusu ile elde edilmiştir (Kromatogram 5).

Kromatogram 5 de görüleceği gibi efedrin uzun bir kuyruk teşkil ederek karışımında etilmorfin, oksidon, dihidrokodeinon, lobelin ve papaverinin lekelerini kısmen kapatmakta ise de, iodoplatinatla pembe renk verdiğiinden diğerlerinin teşhisine mani olmamaktadır. Kromatogram 5 de birbirinden ayrılmayan oksidon ile lobelini ayırmak için cetvel III de gösterilen çözücü sistemlerinden IV, IX, X ve XI, cetvel IV dekilerden ise III_a, VIII_{a,b}, IX , X , , XI , XII ve XIV no.lular tavsiye edilir.

Tarafımızdan tertiplenen çözücü sistemleriyle alınan sonuçlar cetvel IV de gösterilmiştir.

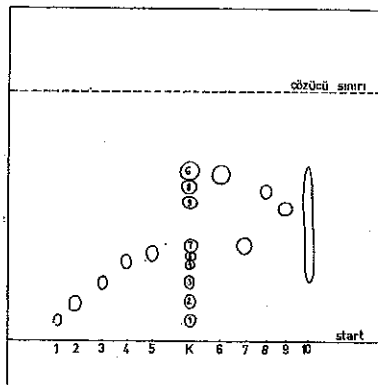
Bunlardan XII no.lusu ile 9 leke elde edilmektedir (Kromatogram 6). Efedrin karışımında 3 - 9 no.lu lekeleri içine alan uzun bir kuyruk teşkil etmekte, fakat yukarıda izah edildiği gibi iodoplatinat ile verdiği renk diğerlerinin tanınmasına mani olmamaktadır. Burada efedrin hariç kodein-etilmorfin, etilmorfin-dihidrokokeinon birbirine yakın Rf değerleri vermektedir; bunlardan kodein-etilmorfin çiftini ayırmak için cetvel III teki çözücü sistemlerinden III, VIII, X no.luları, cetvel IV tekilerden ise X_b, tavsiye edilir. Etilmorfin-dihidromorfinon ayrılığında ise cetvel III teki çözücü sistemlerinden V, VIII ve XI, cetvel IV tekilerden ise X_b, XI_a ve XIV no.lular kullanılabilir. VIII_a ve ayrıca X_a no.lu çözücü sistemleriyle silika jel G tabakasında multiple kromatografi tekniği de tecrübe edildi. Bu çözüclere ait Rf değerleri, bir-

birini takiben aynı istikamette 2 kere kromatografiye etme neticesinde elde edilen adetlerdir. Ayrıca VIII_a no.lu çözücü ile 5 kere kromatografiye edildiğinde de bütün maddeleri birbirinden ayırmak mümkün olmadı, fakat kromatogram 6 da birbirine yakın leke veren kodein-etilmorfin-dihidrokodeinon bu taktirde ayrılabilmektedir, Rf değerleri sırasıyla : 0.45, 0.52, 0.37.



Kromatogram 5

Çözücü sistemi : No. II
Süre : 1 saat 10 dakika, $t = 20^\circ\text{C}$



Kromatogram 6

Çözücü sistemi : No. I
Süre : 1 saat 40 dakika, $t = 22^\circ\text{C}$

Aluminyum oksit G tabakasında I, II, IV, I_a, II_a, VIII_b, XIII ve XII no.lu çözücü sistemleriyle ve ayrıca aseton-dietilamin (9 : 1) ile yapılan tecrübelerde silika jel G tabakalarındaki kadar iyi neticeler elde edilmemiştir. Bunların içinde XII no.lusu en çok leke husule getirmekte ve bununla kodein, etilmorfin ve dihidromorfinon silika jel G tabakasından daha iyi ayrılabilmektedir; bu taktirde Rf kıymetleri : kodein 0.55, etilmorfin 0.64, dihidromorfinon 0.85 dir.

Sellüloz MN 300 G tabakalarında I ve I_a no.lu çözücü sistemleriyle ve ayrıca aseton-dietilamin (9 : 1) ile yapılan tecrübelerde maddeler çözücü sınırına kadar ilerlemiş ve bir ayrılma olmamıştır. Formamidin asetondaki % 10 luk veya % 20 lik çözeltisiyle emprende edilmiş sellüloz MN 300 G tabakalarında I_a no.lu çözücü sistemiyle çalışıldığında da bir ayırma yapmak mümkün olamamıştır.

Yukarıda bildirilen tecrübelerde, bu gruptaki maddelerin hepsini bir kromatogramda ayırmak mümkün olmadığından iki boyutlu kro-

Cetvel III. Bilinen çözücü sistemleriyle alınan sonuçlar.

| Cözücü sistemi no. | Leke adedi | MorfİN | Apo-morfİN | Dihidro-morfİN | Kodein | Etil-morfİN | Oksikoden | Dihidro-kodeinon | Löbelin | Papaverin | Efedrin (*) |
|--------------------|------------|--------|------------|----------------|--------|-------------|-----------|------------------|---------|-----------|-------------|
| I | 6 | 0.07 | 0.81 | 0.28 | 0.49 | 0.53 | 0.86 | 0.56 | 0.82 | 0.92 | 0.90 |
| II | 8 | 0.07 | 0.55 | 0.50 | 0.70 | 0.73 | 0.95 | 0.77 | 0.96 | 0.93 | 0.77 |
| III | 7 | 0.09 | 0.47 | 0.33 | 0.50 | 0.60 | 0.93 | 0.52 | 0.89 | 0.87 | (—) |
| IV | 7 | 0.04 | 0.05 | 0.10 | 0.23 | 0.27 | 0.46 | 0.33 | 0.38 | 0.46 | 0.73 |
| V | 5 | 0.10 | 0.69 | 0.10 | 0.18 | 0.20 | 0.83 | 0.95 | 0.89 | 0.82 | (—) |
| VI | 5 | 0.09 | 0.48 | 0.06 | 0.10 | 0.12 | 0.11 | 0.09 | 0.40 | 0.67 | 0.75 |
| VII | 5 | 0.15 | 0.42 | 0.98 | 0.10 | 0.12 | 0.14 | 0.11 | 0.08 | 0.28 | 0.89 |
| VIII | 5 | 0.24 | 0.85 | 0.22 | 0.28 | 0.37 | 0.28 | 0.27 | 0.63 | 0.62 | (—) |
| IX (**) | 4 | 0.04 | 0.22 | 0.03 | 0.04 | 0.05 | 0.04 | 0.04 | 0.28 | 0.20 | (—) |
| X | 6 | 0.06 | 0.60 | 0.06 | 0.16 | 0.23 | 0.14 | 0.26 | 0.44 | 0.46 | 0.53 |
| XI | 7 | 0.11 | 0.19 | 0.15 | 0.32 | 0.37 | 0.55 | 0.21 | 0.66 | 0.62 | (—) |

(*) (—) işaret, maddeinin tıbbık edildiği halde kromatogramda tespit edilemediğini gösterir.

(**) % 5 sodyum sitratlı silika jel G tabakasında.

Cetvel IV. Yeni geliştirilen çözücü sistemleriyle alınan sonuçlar

| Çözücü sistemi no. | Leke adedi | Rf değerleri | | | | | | Efedrin (%) | | | |
|-----------------------|------------|--------------|------------|-----------------|--------|-------------|-----------|----------------|---------|-----------|------|
| | | Morfün | Apo-morfün | Dihidromorfinon | Kodein | Etil-morfin | Oksikodon | Dihidrokodenon | Lobelin | Papaverin | |
| I _a | 5 | 0.29 | 0.21 | 0.70 | 0.86 | 0.91 | 0.96 | 0.90 | 0.96 | 0.96 | 0.66 |
| II _a | 4 | 0.16 | 0.27 | 0.55 | 0.73 | 0.76 | 0.95 | 0.82 | 0.95 | 0.95 | (—) |
| II _b | 6 | 0.37 | 0.87 | 0.61 | 0.79 | 0.81 | 0.94 | 0.82 | 0.96 | 0.92 | (—) |
| III _a | 6 | 0.13 | 0.44 | 0.31 | 0.45 | 0.46 | 0.78 | 0.46 | 0.85 | 0.76 | (—) |
| III _b | 6 | 0.09 | 0.11 | 0.23 | 0.36 | 0.38 | 0.75 | 0.40 | 0.69 | 0.45 | (—) |
| III _c | 6 | 0.09 | 0.09 | 0.35 | 0.45 | 0.48 | 0.78 | 0.48 | 0.79 | 0.70 | (—) |
| III _d | 6 | 0.02 | 0.12 | 0.09 | 0.18 | 0.22 | 0.69 | 0.26 | 0.69 | 0.56 | 0.33 |
| V | 5 | 0.06 | 0.66 | 0.06 | 0.13 | 0.16 | 0.51 | 0.13 | 0.48 | 0.87 | (—) |
| VII _a (**) | 5 | 0.21 | 0.53 | 0.16 | 0.19 | 0.24 | 0.18 | 0.15 | 0.58 | 0.38 | (—) |
| VII _b | 6 | 0.11 | 0.30 | 0.08 | 0.10 | 0.13 | 0.09 | 0.08 | 0.39 | 0.26 | 0.34 |
| IX _a | 5 | 0.07 | 0.56 | 0.04 | 0.06 | 0.09 | 0.09 | 0.04 | 0.37 | 0.82 | (—) |
| X _a (**) | 5 | 0.73 | 0.94 | 0.66 | 0.82 | 0.87 | 0.80 | 0.80 | 0.96 | 0.96 | (—) |
| X _b | 6 | 0.51 | 0.73 | 0.49 | 0.64 | 0.72 | 0.62 | 0.67 | 0.91 | 0.92 | 0.92 |
| XI _a | 6 | 0.15 | 0.88 | 0.17 | 0.39 | 0.40 | 0.78 | 0.27 | 0.82 | 0.73 | 0.30 |
| XII | 9 | 0.08 | 0.16 | 0.24 | 0.32 | 0.35 | 0.65 | 0.39 | 0.59 | 0.53 | 0.47 |
| XIII | 3 | 0.02 | 0.05 | 0.01 | 0.02 | 0.02 | 0.02 | 0.02 | 0.03 | 0.11 | (—) |
| XIV (***) | 6 | 0.36 | 0.66 | 0.14 | 0.19 | 0.18 | 0.16 | 0.10 | 0.37 | 0.74 | (—) |

(*) (—) işaret, maddenin tıbbik edildiği halde kromatogramda tespit edilemediğini gösterir.

(**) Multiple kromatografi (2 kere).

(***) N KOH ile hazırlanan silika jel G tabakasında.

matografi tekniği de tecrübe edildi. Birinci boyutta, yükselen usule göre nispeten iyi bir ayırma yapan XII no.lu çözücü ile kromatografye edildikten sonra levha 90° çevrilip ikinci boyutta IV, VIII_b ve XIII no.lu çözücü sistemleriyle muhtelif tecrübe yapıldı ve en iyi netice sonuncusu ile elde edildi. Bu suretle bu grupta bulunan bütün maddeleri tek bir kromatogramda iki boyutlu kromatografi usulü ile ayırmak mümkün oldu(1).

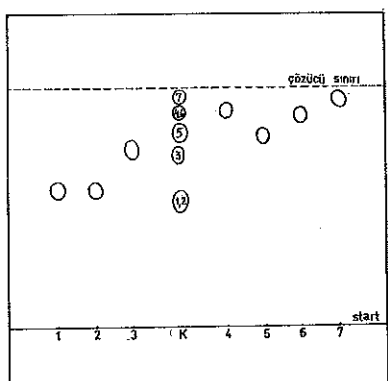
c) 3. gruptaki alkaloidler ve baz tesirli bileşikler: Bu grupta atropin, hyosiyamin, hyosin (skopolamin), fisostigmin, brusin, fenazon ve aminopirin (no. 1 - 7) olmak üzere 7 madde tespit edildi. Literatürde bildirilen çözücü sistemlerinden I - XI no'luları ile silika jel G tabakasında yükselen usule göre yapılan kromatografik ayırma tecrübelerinde optik izomer olan atropin-hyosiyamini birbirinden ayırmak mümkün olmadı. Bu iki maddenin ayrılması bir yana bırakılırsa bu gruptaki madde adedi 6 ya inmektedir, cetvel V de bildirilen çözücü sistemleriyle bunları birbirinden ayırmak mümkün olmadı (yüksek usul), ancak I no.lu çözücü sistemiyle diğerlerine nazaran iyi netice alındı (Kromatogram 7).

Cetvel V. Bilinen çözücü sistemleriyle alınan sonuçlar

| Çözücü sistemi no. | Leke adedi | Rf değerleri | | | | | | |
|--------------------|------------|--------------|------------|--------|-------------|--------|---------|------------|
| | | Atropin | Hyosiyamin | Hyosin | Fisostigmin | Brusin | Fenazon | Aminopirin |
| I | 5 | 0.57 | 0.57 | 0.74 | 0.90 | 0.79 | 0.89 | 0.91 |
| II | 5 | 0.61 | 0.62 | 0.79 | 0.89 | 0.67 | 0.79 | 0.91 |
| III | 5 | 0.39 | 0.40 | 0.63 | 0.77 | 0.37 | 0.54 | 0.87 |
| IV | 5 | 0.15 | 0.14 | 0.25 | 0.53 | 0.33 | 0.52 | 0.65 |
| V | 4 | 0.02 | 0.02 | 0.28 | 0.25 | 0.04 | 0.44 | 0.68 |
| VI | 5 | 0.11 | 0.11 | 0.25 | 0.21 | 0.08 | 0.56 | 0.50 |
| VII | 4 | 0.20 | 0.23 | 0.19 | 0.23 | 0.15 | 0.63 | 0.42 |
| VIII | 4 | 0.18 | 0.19 | 0.14 | 0.15 | 0.10 | 0.60 | 0.22 |
| IX (*) | 2 | 0.09 | 0.09 | 0.07 | 0.09 | 0.06 | 0.82 | 0.25 |
| X | 5 | 0.58 | 0.58 | 0.47 | 0.47 | 0.36 | 0.64 | 0.31 |

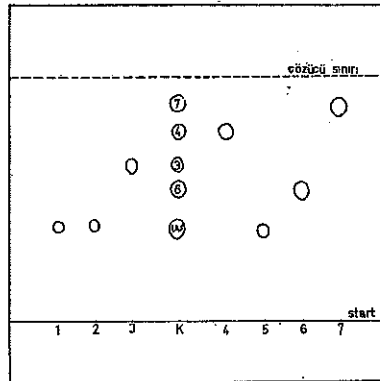
(*) % 5 sodyum sitratlı silika jel G tabakasında.

Nispeten iyi ayırma yapan bir diğer çözücü sistemi III no.lu olanıdır (Kromatogram 8).



Kromatogram 7

Çözücü sistemi : No. 1
Süre : 1 saat 20 dakika, $t = 22^\circ\text{C}$



Kromatogram 8

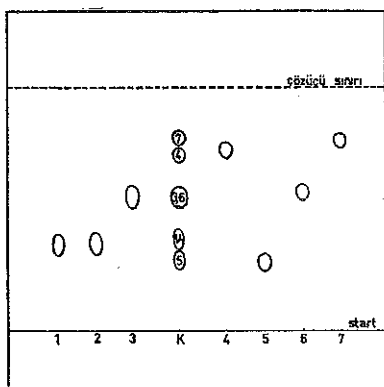
Çözücü sistemi : No. III
Süre : 55 dakika, $t = 24^\circ\text{C}$

Kromatogram 7 de tek leke veren fisostigmin-fenazon çiftini ayırmak için cetvel V deki çözücü sistemlerinden V, VI, VII, VIII, X ve XI no.lular, tarafımızdan tertiplenen ve cetvel VI da gösterilen çözücü sistemlerinden ise III_{a-d}, VIII_a ve VIII_b, IX , X , , XI ve XII no.lular kullanılabilir.

Kromatogram 8 de tek leke veren atropin-brusini birbirinden ayırmak için cetvel V de bildirilen çözücü sistemlerinden I, IV ve X no.luları, cetvel VI dakilerden II_a, V_a, VIII ve X no.luları alımlabilir.

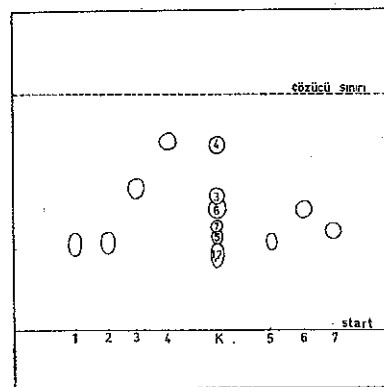
Tarafımızdan tertiplenen çözücü sistemleriyle yapılan çalışmalar da (cetvel VI) en iyi neticeler XI_a ve XII no.lu çözücü sistemleriyle elde edilmiştir (Kromatogram 9 ve 10).

Bu kromatogramların tetkikinden anlaşılacek gibi XI_a çözücü sistemi ile çalışıldığında (Kromatogram 9) hyosin-fenazon ayrılması mümkün olmamış, XII no.lu ile hazırlananda ise (Kromatogram 10) yakın Rf değerleri elde edilmiştir. Bu çiftin iyi bir şekilde ayrılması için cetvel V deki çözücü sistemlerinden I, IV, V, VI, VII, VIII, X no.lu olanlar, cetvel VI dakilerden ise II_a, VIII_{a,b}, IX , X kullanılabilir. Denel kısımında bildirildiği gibi silika jel G tabakasında pH gradienti husule getirildikten sonra n-butanol-su (1:1) sisteminin organik fazıyla yapılan tecrübelerde en iyi netice (6 leke) levhanın N KOH (etanolde)



Kromatogram 9

Çözücü sistemi : No. XI

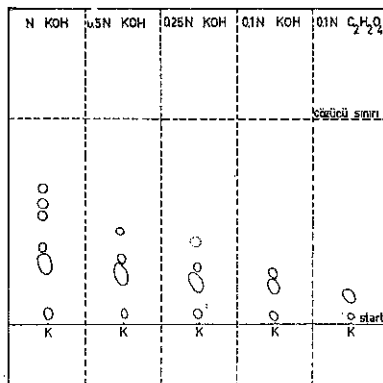
Süre : 2 saat, $t = 24^\circ\text{C}$ 

Kromatogram 10

Çözücü sistemi : No. XII

Süre : 40 dakika, $t = 24^\circ\text{C}$

çözeltileri püskürtülmüş olan kısmında elde edildi, en az leke (2 leke) ise levhanın diğer başındaki kısım olan 0.1 N $\text{H}_2\text{C}_2\text{O}_4$ (suda) li mıntıka tespit edildi. Levha üzerindeki KOH miktarı arttıkça lekelerin adedi de artmaktadır (Kromatogram 11).



Kromatogram 11

Çözücü sistemi : n-butanol-su (1 : 1)

Süre : 3 saat, $t = 23^\circ\text{C}$

Bu ön tecrübe faydalananlarak yapılan bir çalışmada levha silika jel G nin su yerine KOH in sudaki normal çözeltisiyle karıştırıldı.

ması suretiyle hazırlandı ve n-butanol-su (1:1) sisteminin organik fazı ile kromatografiye edildi(1).

Cetvel VI. Yeni geliştirilen çözücü sistemleriyle alınan sonuçlar

| Çözücü sistemi no. | Leke adedi | Rf değerleri | | | | | | |
|--------------------|------------|--------------|------------|--------|--------------|--------|---------|-------------|
| | | Atropin | Hyosya-min | Hyosin | Fisostig-min | Brusin | Fenazon | Amino-pirin |
| I _a | 2 | 0.90 | 0.89 | 0.93 | 0.94 | 0.91 | 0.87 | 0.93 |
| II _a | 5 | 0.59 | 0.57 | 0.71 | 0.86 | 0.83 | 0.83 | 0.95 |
| II _b | 3 | 0.79 | 0.79 | 0.85 | 0.88 | 0.70 | 0.80 | 0.89 |
| III _a | 3 | 0.27 | 0.28 | 0.48 | 0.67 | 0.21 | 0.45 | 0.78 |
| III _b | 5 | 0.35 | 0.35 | 0.48 | 0.64 | 0.35 | 0.42 | 0.73 |
| III _c | 4 | 0.28 | 0.29 | 0.39 | 0.54 | 0.31 | 0.35 | 0.72 |
| III _d | 5 | 0.10 | 0.11 | 0.19 | 0.32 | 0.14 | 0.18 | 0.32 |
| V _a | 2 | 0.31 | 0.32 | 0.52 | 0.52 | 0.55 | 0.54 | 0.52 |
| VIII _a | 4 | 0.30 | 0.30 | 0.23 | 0.30 | 0.17 | 0.57 | 0.15 |
| VIII _b | 2 | 0.21 | 0.21 | 0.18 | 0.23 | 0.14 | 0.62 | 0.16 |
| IX _a | 3 | 0.05 | 0.06 | 0.22 | 0.16 | 0.03 | 0.69 | 0.21 |
| X _a | 5 | 0.41 | 0.41 | 0.26 | 0.34 | 0.57 | 0.89 | 0.45 |
| X _b | 4 | 0.68 | 0.68 | 0.58 | 0.45 | 0.75 | 0.94 | 0.67 |
| XI _a | 5 | 0.35 | 0.35 | 0.55 | 0.74 | 0.27 | 0.56 | 0.77 |
| XII | 4 | 0.07 | 0.06 | 0.11 | 0.22 | 0.09 | 0.11 | 0.34 |
| XIII | 1 | 0.02 | 0.03 | 0.03 | 0.02 | 0.01 | 0.03 | 0.02 |
| XIV (*) | 5 | 0.30 | 0.31 | 0.66 | 0.71 | 0.28 | 0.79 | 0.83 |

(*) N KOH ile hazırlanan silika jel G tabakasında.

Adsorban olarak silika jel G yerine aluminyum oksid G ve ayrıca formamidin asetondaki % 10 luk ve % 20 lik çözeltisiyle emprende edilmiş sellüloz MN 300 ve sellüloz MN 300 G tabakalarında bazı çözücü sistemleriyle yükselen usule göre yapılan çalışmalarda tatmin-kâr neticeler alınamamıştır.

Silika jel G tabakasında iki boyutlu kromatografi tekniği de denendi ve birinci boyutta XII, ikinci boyutta ise VIII_b veya XIII veya IV no.lu çözücü sistemleriyle çalışıldı.

Birinci boyutta XII no.lu, ikinci boyutta ise IV no.lu çözücü sistemiyle kromatografide atropin-hyosiyamin çifti hariç, maddelerin hepsini birbirinden ayırmak mümkün oldu(1).

D E N E L K I S I M

Burada yalnızca daha önceki yayında (1) bulunmayan hususlar bildirilecektir.

1) *Muhtelif mintikalardaki asidlik veya bazlığı farklı olan silika jel G tabakası*: 35 g silika jel G ye 70 ml 0.1 N $H_2C_2O_4$, 2 H_2O çözeltisi ilâve edilip karıştırıldı. Elde edilen koyu kıvamlı kütle DESEGA kromatografi aletiyle 5 levha (20×20 cm) üzerine 0.25 mm kalınlığında yayıldı. Levhalar açık havada kurutuldu, etüvde $100^{\circ}C$ de 1/2 saat aktive edildi. Levha 5 bölüme ayrıldı. Birinci bölüm ince tabakaya değimeyecek şekilde cam levhayla kapatılarak açık kalan kısma alkollü 0.1 N KOH püskürtüldü, müteakiben bir sıcak hava vantilatörüyle 2 dakika kurutuldu, sonra birinci ve ikinci bölüm kapatıldı, diğer kısma alkollü 0.25 N KOH püskürtüldü, aynı şekilde kurutuldu. Bu tarzda çalışarak ve her seferinde levhanın müteakip 1/5 i kapatılarak, sırasıyla alkollü 0.5 N ve N KOH püskürtülp aynı tarzda kurutulmak suretiyle muamelelere tabi tutulan levha, kullanılıncaya kadar, kurutma dolabında (DESEGA) bekletildi.

2) *Sellüloz*: 15 g sellüloz MN 300 veya sellüloz MN 300 G 100 ml % 96 lik etanolle süspansiyon haline getirilip elektrikli karıştırıcıda 5 dakika karıştırıldıktan sonra, bu karışımından DESEGA aleti yardımıyla 20×20 cm ebadında ve 0.25 mm kalınlığında 5 levha hazırlandı. Levhalar önce havada, sonra etüvde $80^{\circ}C$ de 15 dakika bekletilerek kurutuldu ve kullanılıncaya kadar kurutma dolabında (DESEGA) bekletildi.

3) *Formamidle emprenye edilmiş tabakalar*: Sellüloz MN 300 ve sellüloz MN 300 G ile bir önceki kısımdaki tarzda hazırlanan levhalar kurutulup $80^{\circ}C$ de 15 dakika aktive edildikten sonra, formamidin asetondaki % 5 veya % 10 veya % 20 lik çözeltisine batırılarak emprenye edildi ve açık havada 48 saat kurutuluktan sonra kullanıldı.

Ö Z E T

Alkaloidlerin analizinde Bamford usulünün ince tabaka kromatografisiyle kombine edilmesi konusunda yaptığımız araştırmalarla ilgili ilk yayında(1) 1. - 7. gruptaki alkaloidlerin ve baz tesirli organik azot bileşiklerinin kendi grupları içinde ince tabaka kromatografisyle ayrılmasında kullanılacak usuller bildirilmiştir. Bu yayında ise 1. - 3. gruptaki maddelerin silika jel, aluminyum oksid, sellüloz ve forma-

midle emprenye edilmiş sellüloz tabakalarında literatürde bildirilen bazı çözücü sistemleriyle (no. I - XI) ve ayrıca tarafımızdan tertiple nen çözücü sistemleriyle (cetvel II) yükselen usule göre kromatografilerinde alınan sonuçlar bildirilmektedir.

S U M M A R Y

In a previous publication(1), dealing with the combination of thin-layer chromatography with the scheme of analysis given by Bamford(2), we gave methods for the separation of the alkaloids and the basic organic nitrogen compounds of the groups 1 - 7 (each within their groups) by thin-layer chromatography.

In this paper, we are giving the results obtained by thin-layer chromatography (ascending technique) of the compounds belonging to the groups 1 - 3, on layers of silica gel G, alumina, cellulose and with formamide impregnated cellulose, using known solvent systems (no. I - XI) and the ones developed by us (Table II).

L İ T E R A T Ü R

1. Tulus, R., İskender, G., *İstanbul Ecz. Fak. Mec.*, 5, 55 (1969).
2. Bamford, F., Steward, C. P., Poisons, Their Isolation and Identification, 3., ed., 247, J. and A. Churchill Ltd., London (1951).

(Redaksiyona verildiği tarih : 26 Ağustos 1969)